

مدل‌سازی تشکیل کک و اثر آن بر غیرفعال شدن کاتالیزور مونومر استایرن

طاهره عسگری (کارشناس ارشد)
مجتبی صدرعاملی (استاد)
جعفر توفیقی (استاد)
دانشکده‌ی فنی و مهندسی، دانشگاه تربیت مدرس

مونومر استایرن، یکی از مهم‌ترین مونومرهای (تکارهای) آرماتیک غیراشباع است. تکبار استایرن کاربردهای زیادی در تولید مواد بسپاری دارد. مهم‌ترین روش تولید استایرن در صنعت، هیدروژن‌گیری کاتالیستی آدیباتیک از اتیل‌بنزن است. غیرفعال شدن کاتالیزور و کاهش زمان عمر کاتالیست، مشکل اساسی این فرایند است. غیرفعال شدن کاتالیزور، طی چندین سازوکار رخ می‌دهد. تشکیل کک از عوامل مهم و مؤثر بر غیرفعال شدن کاتالیزور استایرن است. باستفاده از واکنش گازی شدن برای احیاء، و با مدل‌سازی و تعیین پارامترهای سینتیکی و بهینه‌سازی در فرایند، می‌توان میزان تبدیل نهایی را بهبود بخشید و غیرفعال شدن کاتالیست را به تعویق انداخت.

در این تحقیق، از میان سطوح مختلف مدل‌سازی تشکیل کک، سطح دانه‌ی کاتالیست انتخاب شده است که در این سطح، چهار مدل برای سرعت اولیه‌ی گازی شدن و چهار مدل برای تابع غیرفعال شدن ارائه شده است، که با تأثیر دو مورد، در کل ۱۶ مدل بدست آمده است. مدل‌ها مورد تجزیه و تحلیل آماری با SPSS قرار گرفته و برای تحلیل، از روش واریانس یک طرفه استفاده شده است. مدل با بالاترین ضریب F بعنوان مدل مرجع پذیرفته شده، و در انتهای نیز مقایسه پارامترهای سینتیکی برای مدل مرجع محاسبه شده است. براساس منحنی‌های مدل مرجع و داده‌های آزمایشگاهی، مشاهده می‌شود که مدل پیش‌بینی شده با داده‌های آزمایشگاهی کاملاً توافق داشته، و از پایایی و اعتبار لازم و کافی برخوردار است. مدل مرجع پذیرفته با مدل ارائه شده توسط [۱] فرامنت مقایسه شده است. مدل مرجع دارای خطای قابل قبول کمتر از ۱/۱٪ در دامنه‌ی داده‌های آزمایشگاهی بوده و سادگی بالایی دارد.

مقدار کک کاتالیزور، سرعت تشکیل کک، سرعت گازی شدن و سرعت خالص تشکیل کک در دما و فشار هیدروژن، بخار آب و آرماتیک‌ها بر حسب زمان فرایند و سایر متغیرها بررسی شده است. نتایج به دست آمده با اطلاعات علمی موجود مطابقت کامل دارد.

مقدمه
به فعالیت کاتالیزور کمک می‌کند، اما نسبت به کلریدها و سولفیدها حساس بوده و مسموم می‌شود. همچنین در اکثر کاتالیزورهای استایرن از مقدار کمی اکسید کروم به عنوان ثبت‌کننده‌ی ساختمانی استفاده می‌شود.^[۲]

فعالیت کاتالیزور استایرن به آرامی کاهش می‌یابد و هر ۱ تا ۲ سال باید تعویض شود. در ظرفیت‌های بالا این عمل هزینه‌بر است. تلاش‌های زیادی برای شناخت سازوکار غیرفعال شدن کاتالیزور استایرن انجام شده است.^[۳،۴] عمدتاً چهار دلیل اساسی برای پدیده‌ی غیرفعال شدن کاتالیزور استایرن وجود دارد: تشکیل کک، کاهش یا آرایش مجدد پیش‌برنده‌ها، تغییر و تبدیل در حالت اکسیداسیون جامد، و تخریب فیزیکی کاتالیزور استایرن. چندین سازوکار غیرفعال شدن به یکدیگر مرتبط بوده و به طور همزمان رخ می‌دهند.^[۵] شاید یک برتری جالب، برگشت‌پذیری غیرفعال شدن باشد که بتوان با مدل‌سازی و بهینه‌سازی فرایند آن را به تعویق انداخت یا متوقف

غیرفعال شدن کاتالیزور، کاهش زمان عمر، فعالیت و یا انتخاب‌پذیری، مشکل اساسی فرایندهای کاتالیستی صنعتی است. هزینه تعویض کاتالیزور در صنعت و توقف واحد، چندین بیلیون دلار در سال است.^[۶] مهم‌ترین روش تجاری تولید استایرن، هیدروژن‌زدایی کاتالیستی از اتیل‌بنزن است. در این فرایند، کاتالیزور اکسید آهن همراه با پیش‌برنده‌ی پتاسیم به کار می‌رود. بیشتر از ۷۰٪ استایرن تولیدی در صنعت از روش هیدروژن‌زدایی از اتیل‌بنزن، و در حضور کاتالیست اکسید آهن با پیش‌برنده‌ی پتاسیم، تهیه می‌شود. واکنش‌گرها می‌توانند از بستر کاتالیستی به صورت جریان شعاعی یا محوری عبور داده شوند. بخار و روغن همراه با خوراک، از طریق انتقال آب - گاز واکنش داده و سطح کاتالیزور را آماده‌ی هیدروژن‌زدایی می‌کند و اکسید آهن را در حالت اکسایش مناسب قرار می‌دهد. همه‌ی کاتالیزورهای مورد استفاده در صنعت از اکسید آهن و پیش‌برنده‌ی پتاسیم و سایر پیش‌برنده‌ها ساخته می‌شوند. اکسید پتاسیم از طریق دفع کک از سطح کاتالیزور،

و به همان ترتیب برای کک گرفتگی سری (واکنش دوم) نیز داریم:

$$r_C = k_{C,St}^{\circ} C_t K_{St} P_{St} \Phi_C / (1 + K_{EB} P_{EB} + K_{ST} P_{ST}) \quad (5)$$

در مجموع، معادله سرعت را می‌توان به صورت رابطه‌ی ۷ نوشت:

$$dC_C/dt = r_C^{\circ}(P_j, T) \Phi_C(C_C) \quad (6)$$

$$(dC_c/dt)_{net} = r_C^{\circ}(P_j, T) \Phi_C(C_C) - r_G(p_j, T, C_C) \quad (7)$$

بنابراین، سرعت کک گرفتگی را می‌توان در دو عبارت نوشت: عبارت اول و استگی سرعت اولیه کک گرفتگی (r_C°) را به دما و فشارهای جزئی نشان می‌دهد و عبارت دوم نشان‌گر و استگی تابع غیرفعال شدن کک فقط به مقدار کک روی کاتالیزور است. انواع مختلف این تابع در جدول ۱ ارائه شده است.^[۸]

با ادغام C_t در ثابت سرعت، سرعت اولیه کک گرفتگی را برای واکنش‌های سری و موازی می‌توان به صورت رابطه‌های ۸ و ۹ نوشت:

$$r_C^{\circ} = k_{EB} K_{EB} P_{EB} / (1 + K_{EB} P_{EB} + K_{ST} P_{ST}) \quad (8)$$

$$r_C^{\circ} = k_{St} K_{St} P_{St} / (1 + K_{EB} P_{EB} + K_{ST} P_{ST}) \quad (9)$$

و اگر دو واکنش سری و موازی به طور همزمان رخ دهد، معادله سرعت اولیه کک گرفتگی به صورت رابطه‌ی ۱۰ خواهد بود:

$$r_C^{\circ} = (k_{St} K_{St} P_{St} + k_{EB} K_{EB} P_{EB}) / (1 + K_{EB} P_{EB} + K_{ST} P_{ST}) \quad (10)$$

این نوع مدل کاهش هماهنگ سرعت واقعی تشکیل کک را برای افزایش مقدار کک کاتالیست نشان می‌دهد.

۲. در مرحله دوم فرض می‌شود که کک طی یک سازوکار دو مرحله‌ی حاصل می‌شود که مرحله‌ی اول شامل تشکیل پیشگام کک روی مراکز فعال است، و در مرحله‌ی دوم نیز باشد کک دنبال

جدول ۱. مدل‌های تابع غیرفعال شدن.^[۸]

$\Phi_C(C_C) = 1 - \alpha_C C_C$	$\Phi_C = 1 - \alpha t$
$\Phi_C(C_C) = \exp(-\alpha_C C_C)$	$\Phi_C = \exp(-\alpha t)$
$\Phi_C(C_C) = 1/(1 + \alpha_C C_C)$	$\Phi_C = 1/(1 + \alpha t)$
$\Phi_C(C_C) = 1/(1 + \alpha_C C_C)^{\gamma}$	$\Phi_C = \alpha t^{-1/\gamma}$
$\Phi_C(C_C) = 1/(1 + \alpha_C C_C)^n$	$\Phi_C = (1 + \alpha t)^{-N}$

مروری بر کارهای انجام شده

رابطه‌یی که^[۱] فرامنت برای مدل تشکیل کک ارائه داده است، شامل معادلات سرعت اولیه‌ی تشکیل پیشگام کک و رشد کک است که در ادامه آورده شده است:

$$r_p^{\circ}(P_j, T) = (k_{P,EB} K_{P,EB} P_{EB} + k_{p,St} K_{p,St} P_{St}) / (1 + K_{EB} P_{EB} + K_{ST} P_{ST}) \quad (1)$$

$$r_g^{\circ}(P_j, T) = (k_{g,EB} P_{EB}^{nEB} + k_{p,St} P_{St}^{nSt}) / (1 + K_{H_2O} P_{H_2O} / P_{H_2} + K_{H_2} \sqrt{P_{H_2}})^{ngr} \quad (2)$$

برای مدل گازی شدن نیز^[۱] فرامنت شمایی کلی در نظر گرفته که شامل تمامی واسطه‌های امکان‌پذیر بین کربن، بخار و هیدروژن و تشکیل منواکسیدکربن و دی اکسید کربن و متان است. معادله ارائه شده توسط او، عبارت است از:

$$r_G = k_2 P_{H_2O} C_{tG} / ((1 + K_{H_2} \sqrt{P_{H_2}})(P_{H_2} / K_{H_2O} + k_1 / k_2) + P_{H_2O}) \quad (3)$$

این معادله شامل تعدادی مراکز فعال گازی شدن، C_{tG} ، است. در آزمایش‌های فرامنت مقدار n_G برابر با $\frac{1}{3}$ به دست آمده است.

مدل‌سازی و سینتیک تشکیل کک روی کاتالیزور استایرن

سینتیک تشکیل کک روی کاتالیزور تکپار استایرن را می‌توان در چند مورد بررسی کرد. در کلیه‌ی موارد فرض می‌شود که واکنش‌های جانبی روی سطح کاتالیزور قابل صرف‌نظر بوده و کک فقط از استایرن (محصول واکنش) و اتیل بنزن (واکنش‌گر) حاصل می‌شود.

۱. در مرحله‌ی اول فرض می‌شود که کک مستقیماً از استایرن و اتیل بنزن در یک مرحله حاصل می‌شود:



برای واکنش کک گرفتگی موازی (واکنش اول)، سرعت کک گرفتگی برپایه‌ی مدل^[۹] Langmuir-Hinshelwood و سازوکار ارائه شده در بالا، به صورت رابطه‌ی ۴ است:

$$r_C = k_{C,EB}^{\circ} C_t K_{EB} P_{EB} \Phi_C / (1 + K_{EB} P_{EB} + K_{ST} P_{ST}) \quad (4)$$

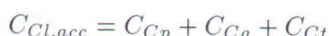
سرعت واقعی تشکیل پیشگام کک از دو عبارت، سرعت اولیه‌ی تشکیل پیشگام کک یا سرعت اولیه‌ی پوشش $r_p^*(p_j, T)$ ، که تأثیر شرایط عملیات را نشان می‌دهد وتابع غیرفعال شدن تشکیل پیشگام کک $\Phi_{Cp}(C_{Cp})$ تشکیل شده است.^[۱۱] چون این فاز فقط به مراکز فعال وابسته است، تابع غیرفعال شدن فقط می‌تواند از نوع خطی باشد که n_s بیانگر تعداد مراکز فعال یا غیرفعال شده، با تشکیل پیشگام کک است:^[۱]

$$r_p(p_j, T, C_{Cp}) = \delta r_p^*(p_j, T)(1 - \alpha_s C_{Cp})^{n_s} \quad (۲۴)$$

که در آن δ ثابت تبدیل است. پیشگام کک هیدروژن زدا و مراکز فعال رشد کک تشکیل می‌شوند. به موازات رشد کک، مراکز فعال رشد کک با کک پوشانیده می‌شوند. بنابراین سرعت واقعی رشد کک حاصل موارد زیر است: سرعت اولیه‌ی واقعی رشد مراکز $r_g^*(p_j, T)$ (اعکاس تأثیر شرایط عملیاتی)، کل تعداد مراکز فعال در رشد کک C_{tg} وتابع غیرفعال شدن رشد کک $\Phi_g(C_{Cg})$ که فقط به مقدار کک تشکیل شده در فاز رشدی وابسته است:

$$r_g(p_j, T, C_{Cgr}) = r_g^*(p_j, T)C_{tg}\Phi(C_{Cgr}) \quad (۲۵)$$

۳. در حالت سوم سازوکار سه مرحله‌یی در نظر گرفته می‌شود که مرحله‌ی اول آن شامل تشکیل پیشگام کک روی مراکز فعال است؛ مرحله‌ی دوم آن شامل رشد کک است، و مرحله‌ی سوم شامل تشکیل کک پایانی یعنی تشکیل کک غیرفعال (C_t) است.^{[۱۲] [۱۳]} واکنش‌های این مرحله شامل واکنش‌های حالت دوم در قسمت قبل و واکنش‌های زیر است:



$$r_{tEB} = k_{tEB}C_{Cg}P_{EB} \quad (۲۶)$$

$$r_{tSt} = k_{t,St}C_{Cg}P_{St} \quad (۲۷)$$

$$dC_{Cp}/dt = r_{P,EB} + r_{P,St} - r_{pg,EB} - r_{pg,St} \quad (۲۸)$$

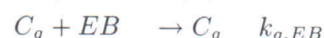
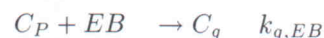
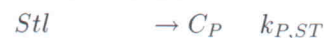
$$dC_{Cg}/dt = r_{pg,EB} + r_{pg,St} - r_{t,EB} - r_{t,St} \quad (۲۹)$$

$$dC_C/dt = (r_{P,EB} + r_{pg,EB} + r_{g,EB} + r_{t,EB}) + (r_{P,St} + r_{pg,St} + r_{g,St} + r_{t,St}) \quad (۳۰)$$

$$(dC_C/dt)_{net} = (r_{P,EB} + r_{pg,EB} + r_{g,EB} + r_{t,EB})$$

$$+ (r_{P,St} + r_{pg,St} + r_{g,St} + r_{t,St}) - r_G(p_j, T, C_C) \quad (۳۱)$$

می‌شود.^[۴] واکنش‌های این مرحله عبارت است از:



و معادلات سرعت واکنش‌های بالا به ترتیب عبارت‌اند از:

$$r_{P,EB} = k_{p,EB}K_{EB}P_{EB}C_t(1 - C_C/C_t)/(1 + K_{EB}P_{EB} + K_{ST}P_{ST}) \quad (۱۱)$$

$$r_{P,St} = k_{p,St}K_{St}P_{St}C_t(1 - C_C/C_t)/(1 + K_{EB}P_{EB} + K_{ST}P_{ST}) \quad (۱۲)$$

$$r_{pg,EB} = k_{g,EB}C_{Cp}P_{EB} \quad (۱۳)$$

$$r_{pg,St} = k_{g,St}C_{Cp}P_{St} \quad (۱۴)$$

$$r_{g,EB} = k_{g,EB}C_{Cg}P_{EB} \quad (۱۵)$$

$$r_{g,St} = k_{g,St}C_{Cg}P_{St} \quad (۱۶)$$

$$C_{Cl} = C_{Cp} + C_{Cg} \quad (۱۷)$$

$$dC_{Cp}/dt = r_{P,EB} + r_{P,St} - r_{pg,EB} - r_{pg,St} \quad (۱۸)$$

$$dC_{Cg}/dt = r_{pg,EB} + r_{pg,St} \quad (۱۹)$$

$$dC_C/dt = (r_{P,EB} + r_{pg,EB} + r_{g,EB}) + r_{P,St} + r_{pg,St} + r_{g,St} \quad (۲۰)$$

با جایگذاری مقادیر مختلف سرعت در دو معادله‌ی ۱۸ و ۱۹، رابطه‌ی C_{Cg} و C_{Cp} به دست می‌آید:

$$dC_{Cg}/dC_{Cp} = C_{Cp}/(M(1 - \alpha_s C_{Cp}) - C_{Cp}) \quad (۲۱)$$

$$M = (k_{P,EB}K_{P,EB}P_{EB} + k_{P,St}K_{P,St}P_{St})/((1 +$$

$$K_{EB}P_{EB} + K_{St}K_{St}P_{St})(k_{g,EB}P_{EB} + k_{P,St}P_{St}))$$

$$C_{Cg} = M/(M\alpha_s + 1) \ln(M - (M\alpha_s + 1)C_{Cp}) - C_{Cp}/(M\alpha_s + 1) \quad (۲۲)$$

$$C_{Cl} = C_{Cp} + M/(M\alpha_s + 1) \ln(M - (M\alpha_s + 1)C_{Cp}) - C_{Cp}/(M\alpha_s + 1) \quad (۲۳)$$

در مدل سوم (GIII) تشکیل سطوح واسطه‌ی اکسید شده را برگشت ناپذیر در نظر می‌گیرند و فرضیه‌ی حالت شبه پایدار برای تمام سطوح واسطه را با در نظر گرفتن واکنش سوم به کار می‌برند:

$$K_2 C_{Cf(O)} = k_1 P_{H_2O} C_{Cf} \quad (42)$$

$$C_{tG} = C_{Cf(H)} + C_{Cf(O)} + C_{Cf} \quad (43)$$

$$C_{Cf} = C_{tG} / (1 + k_1/k_2 P_{H_2O} + K_{H_2} \sqrt{P_{H_2}}) \quad (44)$$

$$r_G = k_1 C_{Cf} P_{H_2O} = k_1 P_{H_2O} C_{tG} / (1 + k_1/k_2 P_{H_2O} + K_{H_2} \sqrt{P_{H_2}}) \quad (45)$$

Lietzke, Huttering [1] شمایی کلی برای گازی شدن در نظر گرفتند که شامل تمامی واسطه‌های امکان‌پذیر بین کربن، بخار و هیدروژن و تشکیل مونو اکسید کربن و دی اکسید کربن و متان می‌شود. با به کار گیری فرضیه‌ی حالت شبه پایدار برای تمامی سطوح واسطه‌ی امکان‌پذیر، مدل GIV چنین خواهد بود:

$$r_G = k_2 P_{H_2O} C_{tG} / ((1 + K_{H_2} \sqrt{P_{H_2}})(P_{H_2}/K_{H_2O} + k_1/k_2) + P_{H_2O}) \quad (46)$$

تمامی سرعت واکنش‌ها در چهار مدل ذکر شده، شامل تعدادی مرکز فعال گازی شدن، C_{tG} ، راشامل می‌شوند. در شرایط پایدار، تعداد مرکز فعال ثابت است و در ثابت سرعت جمع می‌شوند. کاهش در گازی شدن عمده‌ای در لبه‌های کربن رخ می‌دهد. در مقادیر بسیار پایین کک، تعداد لبه‌های اتم‌های کربن به شدت کاهش می‌یابد. وابستگی تعداد مرکز فعال گازی شدن به مقدار کک، به صورت رابطه‌ی نیمه صریح زیر بیان می‌شود:

$$C_{tG} = C_C^{nG} \quad (47)$$

معمولًاً مقدار n_G ، همراه با مقدار ثابت‌های سینتیک و جذب تخمین زده می‌شود.

روش کار

برای مدل‌سازی، از مدل سینتیکی براساس سازوکار نوع اول استفاده می‌شود. با فرض داشتن خوارک بدون ناخالصی (تقریب قابل قبول) موارد زیر در نظر گرفته می‌شوند:

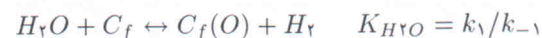
۱. کک مستقیماً در یک سازوکار تک مرحله‌ی روی سطح کاتالیزور تشکیل می‌شود.

۲. از کلیه‌ی واکنش‌های جانبی در سطح کاتالیزور صرف نظر می‌شود.

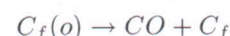
۳. واکنش هیدروژن گازی از اتیل بنزن، در حضور بخار آب و کاتالیزور اکسید آهن انجام می‌گیرد.

مدل‌سازی و سازوکار گازی شدن در هیدروژن گازی از اتیل بنزن

اولین مرحله‌ی سازوکار گازی شدن شامل اکسایش اتم کربن با اریتال آزاد sp^{\ddagger} است و باید در حالت تعادل در نظر گرفته شود: [1]



در ادامه‌ی این مرحله، سطح کمپلکس اکسید شده و به طور برگشت ناپذیر به CO و اتم‌های کربن با اریتال آزاد sp^{\ddagger} تجزیه می‌شود:



در مدل اول (GI) اگر سرعت تعیین‌کننده‌ی تجزیه‌ی کمپلکس سطحی باشد، معادله‌ی سرعت گازی شدن چنین خواهد بود:

$$C_{tG} = C_{Cf(O)} + C_{Cf} = C_{Cf}(1 + K_{H_2O} P_{H_2O} / P_{H_2}) \quad (32)$$

$$C_{Cf} = C_{tG} / (1 + K_{H_2O} P_{H_2O} / P_{H_2}) \quad (33)$$

$$r_G = r_{Cf(O)} = k_2 C_{Cf(O)} \quad (34)$$

$$C_{tG} = C_{Cf(O)}(1 + K_{H_2O} P_{H_2O} / P_{H_2}) \quad (35)$$

$$r_G = k_2 C_{tG} / (1 + K_{H_2O} P_{H_2O} / P_{H_2}) \quad (36)$$

مدل دوم (GII) بر پایه‌ی فرضیه‌ی شبه پایدار برای کل سطوح واسطه است. تحت شرایط مناسب عملیاتی هیدروژن گازی شدن توسط هیدروژن، از تشکیل مستقیم دی اکسید کربن، گازی شدن توسط هیدروژن، و جذب مولکولی هیدروژن می‌توان صرف نظر کرد. واکنش با جذب قابل تفکیک هیدروژن همراه است و معادله‌ی سرعت چنین خواهد بود:

$$k_1 C_{Cf} P_{H_2O} - k_{-1} C_{Cf(O)} P_{H_2} = k_2 C_{Cf(O)} \quad (37)$$

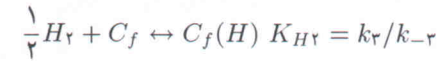
$$C_f = C_{tG} (k_2 + k_{-1} P_{H_2}) / (k_2 + k_{-1} P_{H_2} + k_1 P_{H_2O}) \quad (38)$$

$$C_{Cf(O)} = k_1 P_{H_2O} C_{tG} / (k_2 + k_{-1} P_{H_2} + k_1 P_{H_2O}) \quad (39)$$

$$r_G = r_{Cf(O)} = k_2 C_{Cf(O)} \quad (40)$$

$$r_G = k_1 P_{H_2O} C_{tG} / (1 + k_{-1} / k_2 P_{H_2}) + k_1 / k_2 P_{H_2O} \quad (41)$$

Walker و Giberson [1] کاهش بسیار زیاد سرعت گازی شدن را در نتیجه‌ی جذب رقابتی قابل تفکیک هیدروژن روی مرکز فعال در نظر می‌گیرند:



جدول ۲. مدل‌های ارائه شده برای سرعت تشکیل کک.

$(dC_C/dt)_{net} = \exp(-\alpha_C C_C)(k_{St} K_{St} (P_{St} + P_{EB})) / ((1 + (P_{EB} + P_{St})K_{ST}) - k_{\tau} C_C^{1/\tau} / (1 + K_{H\tau O} / P_{H\tau}))$	مدل اول (M۱)
$(dC_C/dt)_{net} = (1 - \alpha_C C_C)(k_{St} K_{St} (P_{St} + P_{EB})) / ((1 + (P_{EB} + P_{ST})K_{ST}) - k_{\tau} C_C^{1/\tau} / (1 + K_{H\tau O} P_{H\tau O} / P_{H\tau}))$	مدل دوم (M۲)
$(dC_C/dt)_{net} = 1 / ((1 + \alpha_C C_C). (k_{St} K_{St} (P_{St} + P_{EB}))) / ((1 + (P_{EB} + P_{ST})K_{ST}) - k_{\tau} C_C^{1/\tau} / (1 + K_{H\tau O} P_{H\tau O} / P_{H\tau}))$	مدل سوم (M۳)
$(dC_C/dt)_{net} = 1 / ((1 + \alpha_C C_C)^{\tau}. (k_{St} K_{St} (P_{St} + P_{EB}))) / ((1 + (P_{EB} + P_{ST})K_{ST}) - k_{\tau} C_C^{1/\tau} / (1 + K_{H\tau O} P_{H\tau O} / P_{H\tau}))$	مدل چهارم (M۴)
$(dC_C/dt)_{net} = \exp(-\alpha_C C_C)(k_{St} K_{St} (P_{St} + P_{EB})) / ((1 + (P_{EB} + P_{ST})K_{ST}) - k_{\tau} C_C^{1/\tau} P_{H\tau} / (1 + k_{-\lambda} / k_{\tau} P_{H\tau} + k_{\lambda} / k_{\tau} P_{H\tau O}))$	مدل پنجم (M۵)
$(dC_C/dt)_{net} = (1 - \alpha_C C_C)(k_{St} K_{St} (P_{St} + P_{EB})) / ((1 + (P_{EB} + P_{ST})K_{ST}) - k_{\tau} C_C^{1/\tau} P_{H\tau O} / (1 + k_{-\lambda} / k_{\tau} P_{H\tau} + k_{\lambda} / k_{\tau} P_{H\tau O}))$	مدل ششم (M۶)
$(dC_C/dt)_{net} = 1 / ((1 + \alpha_C C_C). (k_{St} K_{St} (P_{St} + P_{EB}))) / ((1 + (P_{EB} + P_{ST})K_{ST}) - k_{\tau} C_C^{1/\tau} P_{H\tau O} / (1 + k_{-\lambda} / k_{\tau} P_{H\tau} + k_{\lambda} / k_{\tau} P_{H\tau O}))$	مدل هفتم (M۷)
$(dC_C/dt)_{net} = 1 / ((1 + \alpha_C C_C). (k_{St} K_{St} (P_{St} + P_{EB}))) / ((1 + (P_{EB} + P_{ST})K_{ST}) - k_{\tau} C_C^{1/\tau} P_{H\tau O} / (1 + k_{-\lambda} / k_{\tau} P_{H\tau} + k_{\lambda} / k_{\tau} P_{H\tau O}))$	مدل هشتم (M۸)
$(dC_C/dt)_{net} = \exp(-\alpha_C C_C)(k_{St} K_{St} (P_{St} + P_{EB})) / ((1 + (P_{EB} + P_{ST})K_{ST}) - k_{\tau} C_C^{1/\tau} P_{H\tau O} / (1 + k_{-\lambda} / k_{\tau} P_{H\tau} + k_{\lambda} / k_{\tau} P_{H\tau O}))$	مدل نهم (M۹)
$(dC_C/dt)_{net} = (1 - \alpha_C C_C)(k_{St} K_{St} (P_{St} + P_{EB})) / ((1 + (P_{EB} + P_{ST})K_{ST}) - k_{\tau} C_C^{1/\tau} P_{H\tau O} / (1 + k_{-\lambda} / k_{\tau} P_{H\tau} + k_{\lambda} / k_{\tau} P_{H\tau O}))$	مدل دهم (M۱۰)
$(dC_C/dt)_{net} = 1 / ((1 + \alpha_C C_C). (k_{St} K_{St} (P_{St} + P_{EB}))) / ((1 + (P_{EB} + P_{ST})K_{ST}) - k_{\tau} C_C^{1/\tau} P_{H\tau O} / (1 + k_{-\lambda} / k_{\tau} P_{H\tau} + k_{\lambda} / k_{\tau} P_{H\tau O}))$	مدل یازدهم (M۱۱)
$(dC_C/dt)_{net} = 1 / ((1 + \alpha_C C_C). (k_{St} K_{St} (P_{St} + P_{EB}))) / ((1 + (P_{EB} + P_{ST})K_{ST}) - k_{\tau} C_C^{1/\tau} P_{H\tau O} / (1 + k_{-\lambda} / k_{\tau} P_{H\tau} + k_{\lambda} / k_{\tau} P_{H\tau O}))$	مدل دوازدهم (M۱۲)
$(dC_C/dt)_{net} = 1 / ((1 + \alpha_C C_C)^{\tau}. (k_{St} K_{St} (P_{St} + P_{EB}))) / ((1 + (P_{EB} + P_{ST})K_{ST}) - k_{\tau} C_C^{1/\tau} P_{H\tau O} / (1 + k_{-\lambda} / k_{\tau} P_{H\tau} + k_{\lambda} / k_{\tau} P_{H\tau}))$	مدل سیزدهم (M۱۳)
$(dC_C/dt)_{net} = \exp(-\alpha_C C_C)(k_{St} K_{St} (P_{St} + P_{EB})) / ((1 + (P_{EB} + P_{ST})K_{ST}) - k_{\tau} P_{H\tau O} C_C^{1/\tau} / ((1 + K_{H\tau} \sqrt{P_{H\tau}}). (P_{H\tau} / K_{H\tau O} + k_{\lambda} / k_{\tau}) + P_{H\tau O}))$	مدل چهاردهم (M۱۴)
$(dC_C/dt)_{net} = (1 - \alpha_C C_C)(k_{St} K_{St} (P_{St} + P_{EB})) / ((1 + (P_{EB} + P_{ST})K_{ST}) - k_{\tau} P_{H\tau O} C_C^{1/\tau} / ((1 + K_{H\tau} \sqrt{P_{H\tau}}). (P_{H\tau} / K_{H\tau O} + k_{\lambda} / k_{\tau}) + P_{H\tau O}))$	مدل پانزدهم (M۱۵)
$(dC_C/dt)_{net} = 1 / ((1 + \alpha_C C_C)^{\tau}. (k_{St} K_{St} (P_{St} + P_{EB}))) / ((1 + (P_{EB} + P_{ST})K_{ST}) - k_{\tau} P_{H\tau O} C_C^{1/\tau} / ((1 + K_{H\tau} \sqrt{P_{H\tau}}). (P_{H\tau} / K_{H\tau O} + k_{\lambda} / k_{\tau}) + P_{H\tau O}))$	مدل شانزدهم (M۱۶)

پایابی و اعتبار مدل‌ها براساس داده‌های مقادیر کک در تعادل دینامیکی بر حسب زمان فریزید به دست می‌آید. برای محاسبه‌ی پایابی مدل‌ها از روش تحلیل واریانس یک طرفه و رگرسیون استفاده شده است. در این روش مقادیر F واریانس یک طرفه و ضرایب همبستگی و رگرسیون محاسبه می‌شود. برای این امر، مدل‌ها به فرم خطی نوشته شده و مقادیر متغیرها در معادله براساس داده‌های فشارهای جزئی محاسبه می‌شوند. تحلیل با SPSS و تحلیل مدل‌ها و نتایج به دست آمده نشان می‌دهند که مدل پنجم دارای بالاترین مقدار F بوده و بنابراین این مدل به عنوان مدل مرجع در نظر گرفته می‌شود. در ضمن این مدل دارای ضریب همبستگی و رگرسیون یک بوده و از پایابی لازم و کافی

۴. از سایر سازوکارهای غیرفعال شدن کاتالیزور، از جمله مسموم شدن و...، صرفنظر می‌شود.

۵. واکنش تشکیل کک به طور سری و موازی در نظر گرفته می‌شود.

۶. توان n_G برابر با $\frac{1}{\lambda}$ در نظر گرفته می‌شود.

۷. به دلیل تشابه اتیل بنزن و استایلن، ثابت‌های جذب و سینتیک آنها برابر در نظر گرفته می‌شوند: $K_{St} = K_{EB}, k_{St} = k_{EB}$ برای $K_{St} = K_{EB}, k_{St} = k_{EB}$ به دست آوردن مقدار کک کاتالیست (C_C) بر حسب زمان (t) از روش Runge - Kutta استفاده شده است. مدل‌ها در جدول ۲ ارائه شده‌اند.

جدول ۴. تحلیل واریانس یک طرفه برای ۱۶ مدل.

درصد خطأ	ضریب F	متوسط مجددها	درجه آزادی (کلی)	مجموع مربعات (کلی)	مدل
۰,۰۰۰	۱۹۲۶۵,۷۳۹	۲,۴۸۴	۲۲۳	۱۷,۴۱۴	۱
۰,۰۰۰	۱۸۰۶۴,۲۰۷	۳,۱۰۶	۱۶۷	۱۵,۵۵۶	۲
۰,۰۰۰	۱۸۱۲۷,۷۷۲	۳,۱۱۴	۱۶۷	۱۵,۶۰۰	۳
۰,۰۰۰	۱۹۳۱۵,۴۲۳	۲,۴۸۹	۲۲۳	۱۷,۴۵۰	۴
۰,۰۰۰	۱۹۸۴۹,۴۲۴	۲,۰۵۱	۲۷۹	۱۸,۴۸۴	*۵
۰,۰۰۰	۱۸۶۰۶,۱۰۴	۲,۷۵۳	۱۹۵	۱۶,۵۴۸	۶
۰,۰۰۰	۱۸۱۲۷,۷۷۲	۳,۱۱۴	۱۶۷	۱۵,۶۰۰	۷
۰,۰۰۰	۱۹۳۱۵,۴۲۳	۲,۴۸۹	۲۲۳	۱۷,۴۵۰	۸
۰,۰۰۰	۲۲۲۲,۷۱۶	۰,۱۹۸	۱۹۵	۱,۲۰۲	۹
۰,۰۰۰	۲۴۹۸,۲۱۲	۰,۱۶۷	۲۵۱	۱,۳۴۶	۱۰
۰,۰۰۰	۴۵۹۵,۵۸۳	۲,۹۲۸	۱۶۷	۱۴,۷۴۳	۱۱
۰,۰۰۰	۵۰۰۵۲,۰۰۹	۲,۴۱۴	۲۲۳	۱۷,۰۰۲	۱۲
۰,۰۰۰	۱۹۳۲۴,۵۹۲	۱,۸۹۰	۳۰۷	۱۸,۹۲۹	۱۳
۰,۰۰۰	۱۹۲۰,۱۶۸۶	۲,۲۳۹	۲۵۱	۱۷,۹۴۰	۱۴
۰,۰۰۰	۱۸۴۶۶,۶۲۷	۲,۷۶۲	۱۹۵	۱۶,۶۰۳	۱۵
۰,۰۰۰	۱۹۳۲۴,۵۹۲	۲,۲۵۰	۲۵۱	۱۸,۰۲۴	۱۶

* مدل مرجع

جدول ۵. پارامترهای سینتیکی محاسبه شده براساس داده‌های آزمایشگاهی.

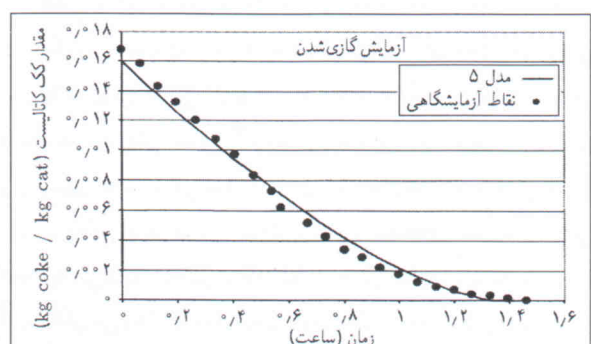
k۱ (kmol/kgcat/hr)	k-۱ (kmol/kgcat/hr)	k۲ (kmol/kgcat/hr)
۷,۰۸۳۹ * ۱۰۱۳	۱/۲۴۰۱۸ * ۱۰-۸۶	۲/۹۸۱۵۷ * ۱۰-۲۷
exp(-۲۷۰۶۳/۹۴/T)	exp(۱۷۹۴۷۵/۱۹۹/T)	exp(۵۶۹۵۸/۷۸۸/T)
aC(kgcat/kgcoke)	kSt(kmol/kgcat/hr)	KSt(1/atm)
۱۱۷,۶۳۸	۲/۰۳۱۲۴۳ * ۱۰۱۱	۳/۰۵۶ * ۱۰-۱
	exp(-۲۶۱۵۰/۶۰۳/T)	exp(۳۰۶۶/۶۹/T)

۹۰ ۴۰ K نشان داده شده‌اند. در ضمن مقدار کک کاتالیست برحسب زمان محاسبه شده است. چنان‌که از منحنی‌ها پیداست، و نیز براساس تحلیل‌های آماری که از پایابی و اعتبارکافی با خطای کم تراز ۱٪ برخوردار است، مدل پیش‌بینی شده با داده‌های آزمایشگاهی مطابقت کامل دارد. و در شکل ۱ در منحنی گازی شدن، دو ناحیه قابل بحث است: منطقه‌ی کک کاتالیست را با زمان نشان می‌دهد، و منطقه‌ی دوم که کاهش سرعت گازی شدن را برای مقادیر پایین کک نشان می‌دهد. سرعت گازی شدن با افزایش فشار جزئی بخار و دما افزایش می‌یابد، در حالی که با افزایش فشار جزئی هیدروژن نسبتاً کاهش می‌یابد.

برخوردار است. نتیجه‌گیری کلی و مقایسه‌ی ضرایب رگرسیون و تحلیل واریانس یک طرفه ۱۶ مدل به ترتیب در جدول‌های ۳ و ۴ آورده شده است. در مدل مرجع پنج پارامتر سینتیکی ($k_{St}, K_{St}, k_1, k_{-1}, k_2$) وجود دارند که تابعی از دما هستند و مقادیر آنها در جدول ۵ آورده شده است. در شکل ۱ نقاط آزمایشگاهی گازی شدن و منحنی بر اساس مدل مرجع و پارامترهای محاسبه شده نشان داده شده‌اند و در شکل‌های ۲ و ۳ نقاط آزمایشگاهی تشکیل کک و منحنی محاسبه شده براساس مدل مرجع و پارامترهای محاسبه شده در دو دمای ۸۷۳°K و ۸۷۳°

جدول ۳. مقادیر تحلیل رگرسیون برای ۱۶ مدل.

خطای استاندارد	ضریب Rگرسیون Adjusted Square R	ضریب Rگرسیون Square R	ضریب Rگرسیون R	مدل
۰,۰۰۰۰۴۵۴۲۰۵۲	۱,۰۰۰	۱,۰۰۰	۱,۰۰۰	۱
۰,۰۰۰۶۹۴۹۸۳۸۷	۰,۹۹۹	۰,۹۹۹	۱,۰۰۰	۲
۰,۰۰۱۰۱۹۸۸۷۱۲	۱,۰۰۰	۱,۰۰۰	۱,۰۰۰	۳
۰,۰۰۰۰۹۱۷۸۶۴۲	۱,۰۰۰	۱,۰۰۰	۱,۰۰۰	۴
۰,۰۰۰۰۱۸۲۱۹۹	۱,۰۰۰	۱,۰۰۰	۱,۰۰۰	۵
۰,۰۰۰۰۴۳۱۸۴۷۰	۰,۹۹۹	۰,۹۹۹	۱,۰۰۰	۶
۰,۰۰۱۸۴۳۱۹۰۰۷	۰,۹۸۷	۰,۹۸۹	۰,۹۹۴	۷
۰,۰۰۱۳۶۰۶۹۳۹۳	۰,۹۹۳	۰,۹۹۴	۰,۹۹۷	۸
۰,۰۰۰۰۵۲۷۶۴۴	۱,۰۰۰	۱,۰۰۰	۱,۰۰۰	۹
۰,۰۰۰۰۱۷۰۶۵۳	۱,۰۰۰	۱,۰۰۰	۱,۰۰۰	۱۰
۰,۰۰۰۰۱۷۸۷۹۵۲۲	۱,۰۰۰	۱,۰۰۰	۱,۰۰۰	۱۱
۰,۰۰۰۱۳۹۱۹۵۶۴	۱,۰۰۰	۱,۰۰۰	۱,۰۰۰	۱۲
۰,۰۰۰۰۵۶۰۰۶۸۸	۱,۰۰۰	۱,۰۰۰	۱,۰۰۰	۱۳
۰,۰۰۰۰۷۱۱۱۲۳۵۰	۰,۹۹۹	۰,۹۹۹	۱,۰۰۰	۱۴
۰,۰۰۰۰۶۳۸۶۶۴۴	۱,۰۰۰	۱,۰۰۰	۱,۰۰۰	۱۵
۰,۰۰۰۰۶۳۹۴۹۰۳	۱,۰۰۰	۱,۰۰۰	۱,۰۰۰	۱۶

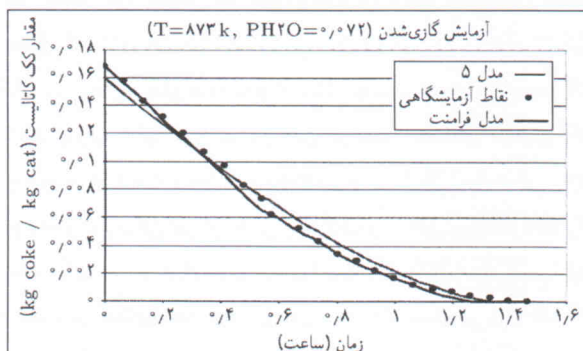


شکل ۱. نقاط آزمایشی و منحنی محاسبه شده مقدار کک کاتالیست برحسب زمان در گازی شدن براساس مدل پنجم.

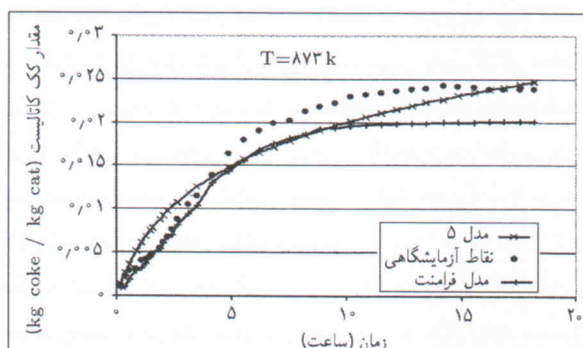
در ضمن برای امتحان مقدار $\frac{1}{n_G}$ برای n_G , ضرایب رگرسیون مقادیر مختلف n_G را محاسبه شده و براساس آنچه که در جدول ۶ مشخص است، ضریب رگرسیون برای مقدار $\frac{1}{n_G}$ دارای بالاترین مقدار بوده و اعتبار لازم و کافی دارد.

بحث و نتیجه‌گیری

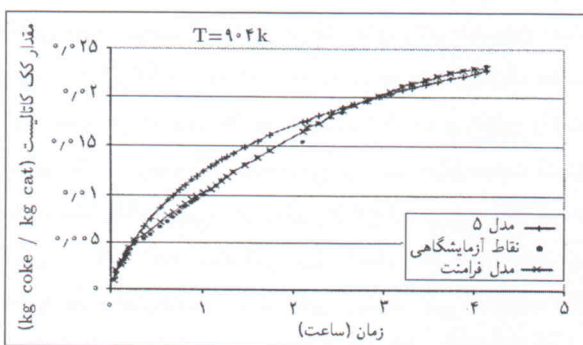
چنان که ذکر شد،^[۱] فرامنت برای مدل تشکیل کک روی کاتالیزور استایرن و مدل گازی شدن، معادلات ۱ تا ۳ را ارائه کرده است که با مدل پنجم در آزمایش گازی شدن و تشکیل کک قابل مقایسه است. این مقایسه در شکل‌های ۴ و ۵ و ۶ نشان داده شده است.



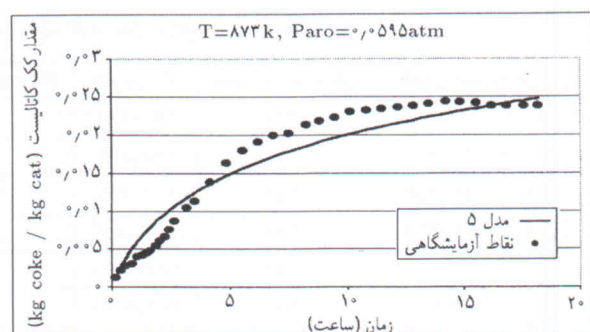
شکل ۴. مقایسه مدل پنجم با مدل فرامنت در آزمایش گازی شدن.



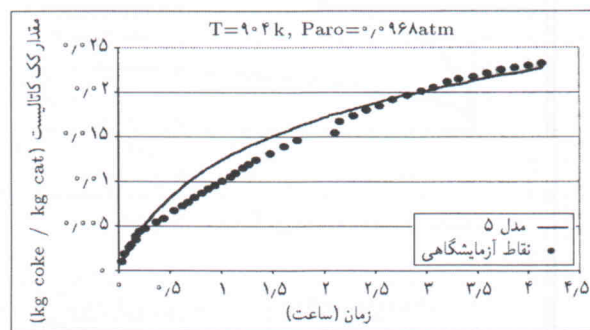
شکل ۵. مقایسه مدل پنجم با مدل فرامنت در آزمایش تشکیل کک.



شکل ۶. مقایسه مدل پنجم با مدل فرامنت در آزمایش تشکیل کک.



شکل ۲. نقاط آزمایشی و منحنی محاسبه شده مقدار کک کاتالیست برحسب زمان براساس مدل پنجم در آزمایش تشکیل کک، بدون حضور گازی شدن در دمای 873 K .



شکل ۳. نقاط آزمایشی و منحنی محاسبه شده مقدار کک کاتالیست برحسب زمان براساس مدل پنجم در آزمایش تشکیل کک، بدون حضور گازی شدن در دمای 904 K .

جدول ۶. ضرایب رگرسیون مقادیر مختلف n_G .

$\frac{1}{n_G}$	$\frac{1}{6}$	$\frac{1}{5}$	$\frac{1}{4}$	$\frac{1}{3}$	$\frac{1}{2}$	n_G
0.872	0.981	0.936	0.987	0.993	0.948	R
\dots	$\frac{5}{6}$	$\frac{3}{4}$	$\frac{1}{10}$	$\frac{1}{9}$	$\frac{1}{8}$	n_G
0.904	0.989	0.989	0.786	0.812	0.978	R
$\frac{1}{n_G}$	$\frac{1}{6}$	$\frac{1}{5}$	$\frac{1}{4}$	$\frac{1}{3}$	$\frac{1}{2}$	n_G
0.904	0.989	0.989	0.786	0.812	0.978	R

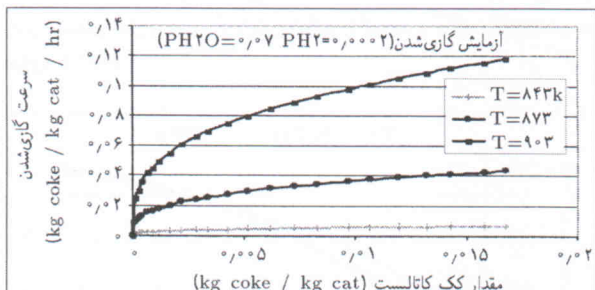
تذکر: ضریب R مربوط به فرمول $(1-n_G)C_C = -r_G^*(1-n_G)^*t + A$ است.

• مقدار $\frac{1}{n_G}$ بالاترین مقدار ضریب رگرسیون را دارد.

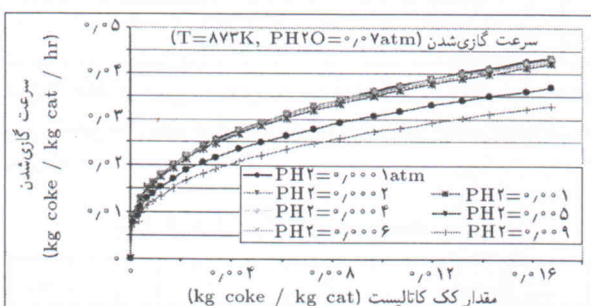
در حالتی که تشکیل کک و گازی شدن به طور همزمان رخ می‌دهد، سرعت خالص تشکیل کک به طور ناهمانگ با مقدار کک تغییر می‌کند. برای مقادیر کافی کک، سرعت خالص تشکیل به سمت مقدار صفر میل می‌کند و بین تشکیل کک و گازی شدن تعادل دینامیکی به وجود می‌آید. سرعت خالص تشکیل با افزایش دما و فشار جزئی آرماتیک‌ها افزایش می‌یابد، اما سرعت خالص تشکیل کک با افزایش مقدار استایرن در خوراک به شدت افزایش می‌یابد و با افزایش فشار جزئی هیدروژن به شدت کاهش می‌یابد.

جدول ۷. ضرایب همبستگی و تحلیل واریانس یک طرفه مدل مرجع و مدل فرامنت.

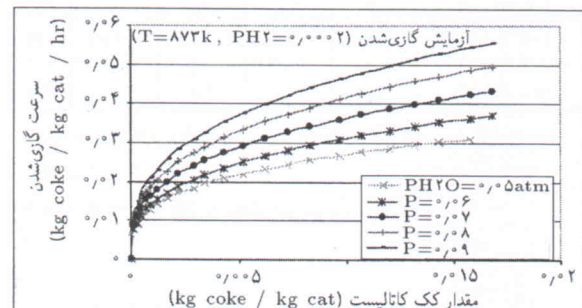
مدل	ضریب رگرسیون R Square	ضریب رگرسیون	ضریب همبستگی F	خطای استاندارد	ضریب همبستگی	ضریب	خطای استاندارد
مرجع(شکل ۴-۳)	۰,۹۹۰	۰,۹۸۰	۹۳۱,۴۶۸	۰,۰۵۹۸۳۹۹	۰,۹۹۰	۰,۹۹۰	۰,۰۵۹۸۳۹۹
فرامنت(شکل ۴-۳)	۰,۹۶۶	۰,۹۳۲	۲۸۹,۹۳۹	۰,۱۲۰۰۱۳	۰,۹۶۶	۰,۹۶۶	۰,۱۲۰۰۱۳
مرجع(شکل ۴-۴)	۰,۹۸۱	۰,۹۶۳	۹۰۹,۲۸۸	۰,۰۰۰۱۶۸۶۵۶	۰,۹۸۱	۰,۹۸۱	۰,۰۰۰۱۶۸۶۵۶
فرامنت(شکل ۴-۴)	۰,۹۹۷	۰,۹۹۴	۶۰۶۹,۶۷۴	۰,۰۰۰۶۶۳۳۲	۰,۹۹۷	۰,۹۹۷	۰,۰۰۰۶۶۳۳۲
مرجع(شکل ۵-۴)	۰,۹۷۶	۰,۹۷۶	۱۶۶۷,۰۶۱	۰,۰۰۰۱۱	۰,۹۸۶	۰,۹۸۸	۰,۰۰۰۱۱
فرامنت(شکل ۵-۴)	۰,۹۹۹	۰,۹۹۹	۳۳۳۵۷,۲۱	۰,۰۰۰۲۴۸۷	۰,۹۹۹	۰,۹۹۹	۰,۰۰۰۲۴۸۷



شکل ۷. سرعت گازی شدن در دماهای مختلف.



شکل ۸. سرعت گازی شدن در فشارهای مختلف هیدروژن.



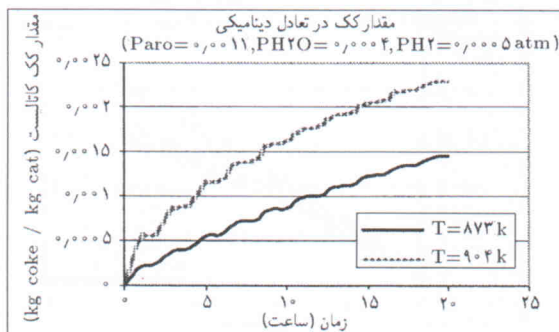
شکل ۹. سرعت گازی شدن در فشارهای مختلف بخار آب.

برابری ثابت‌های جذب استایرن و اتیل بنزن است. بنابراین در مقادیر مختلف میزان تبدیل اتیل بنزن، سرعت تشکیل کک باید برابر باشد. در شکل ۱۲ سرعت تشکیل کک برحسب زمان ارائه شده، و در شکل ۱۳ نیز مقدار آن در مقادیر مختلف میزان تبدیل محاسبه شده است. پیداست که سرعت تشکیل کک و مقدار آن در مقادیر مختلف میزان

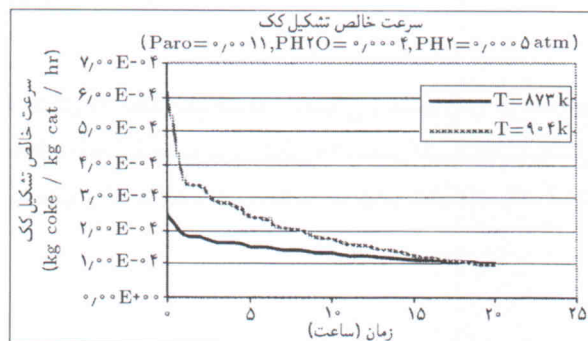
در مدل فرامنت، ثابت‌های جذب هیدروژن و بخار آب در معادله وجود دارند که باعث پیچیدگی معادله می‌شود. در مدل گازی شدن، مدل پنجم دارای سادگی بالا است و براساس تحلیل همبستگی مطابق جدول ۷ دارای ضریب همبستگی بالاتری است. در مدل تشکیل کک نیز مطابق شکل‌های ۵ و ۶، مدل فرامنت در دو دمای مختلف نتایج بهتری نشان می‌دهد. در مدل فرامنت، معادله تشکیل کک چند متغیری است و حل این معادلات را با مشکل مواجه می‌سازد. ثابت‌های سیستمیکی در دو بخش رشد کک و تشکیل پیشگام کک ارائه شده و گروه جذب دارای توان کسری است. در مقابل، مدل پنجم ساده است و نیز خطای محاسبه‌ی آن کمتر از ۱٪ است. می‌توان گفت که این مدل کارایی بهتری دارد.

واضح است که در دماهای بالا، سرعت گازی شدن افزایش می‌یابد. این پدیده در شکل ۷ نشان داده شده است. در ضمن ماید توجه داشت که واکنش تبدیل اتیل بنزن گرمگایر است و میزان تبدیل آن در دماهای بالا افزایش می‌یابد. از طرف دیگر، در دماهای بالا واکنش‌های شکست سریع‌تر تشکیل می‌شوند و نیز طراحی راکتور با محدودیت انجام می‌شود. پس انتخاب دمای بهینه الزامی است. در شکل‌های ۸ و ۹ سرعت گازی شدن در فشارهای مختلف هیدروژن، و بخار آب در دمای ثابت مقایسه شده است. سرعت گازی شدن در فشارهای بالای بخار، افزایش خواهد یافت، و در فشارهای پایین هیدروژن، به دلیل تولید هیدروژن طی واکنش گازی شدن، این سرعت کاهش خواهد یافت. این نتایج در شکل‌های ۸ و ۹ ثابت شده است. نتیجه دیگر حاصل از شکل ۸، کاهش شدید سرعت گازی شدن در فشارهای بالای هیدروژن، است. سرعت تشکیل کک نیز در دما و فشارهای مختلف آروماتیک مقایسه شده است. در دماهای بالا، واکنش‌های شکست و بنایارین واکنش تشکیل کک با سرعت بالاتری انجام می‌گیرند؛ پس میزان سرعت تشکیل کک و مقدار کک کاتالیزور در دمای بالا افزایش می‌یابد. این نکته در شکل ۱۰ ثابت شده است. اتیل بنزن و استایرن در نقش واکنش‌گر و حد واسط واکنش‌های شکست ظاهر می‌شوند. پس فشارهای بالای آروماتیک نیز باعث افزایش سرعت تشکیل کک خواهد شد که این مطلب نیز در شکل ۱۱ ثابت شده است. یکی از فرضیات مدل پنجم،

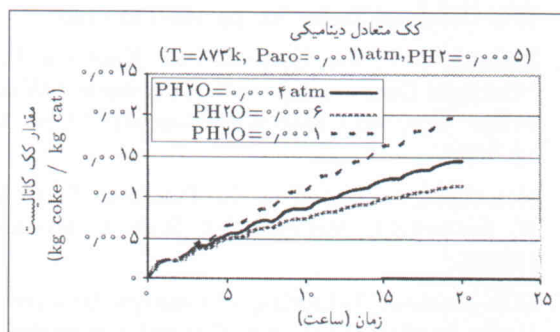
تبدیل، مقدار نسبتاً ثابتی دارد. از دیگر موارد مهم، تعیین مقدار کک در تعادل دینامیکی و تعیین سرعت خالص تشکیل کک است. نمونه‌ی از مقدار کک تعادل دینامیکی و سرعت خالص تشکیل کک در شکل‌های ۱۴ و ۱۵ در دو دمای مختلف نشان داده شده است. آنچه که از منحنی‌ها بر می‌آید، این است که مقدار کک در تعادل دینامیکی به طور نامنظم با زمان تغیر می‌کند و در دماهای بالاتر، این مقدار بیشتر است. سرعت خالص تشکیل کک نیز به طور نامنظم با زمان تغیر می‌کند و در جایی که سرعت گازی شدن با سرعت تشکیل کک برابر می‌شود، این سرعت به سمت صفر می‌کند. در شکل ۱۶ مقدار کک تعادل دینامیکی بر حسب زمان در فشارهای مختلف بخار آب،



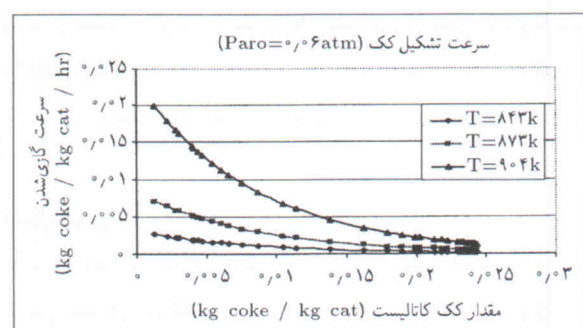
شکل ۱۴. مقدار کک تعادل دینامیکی بر حسب زمان در دو دمای مختلف.



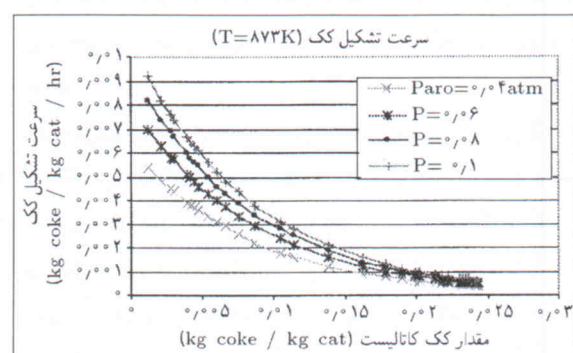
شکل ۱۵. سرعت خالص تشکیل کک بر حسب زمان در دو دمای مختلف.



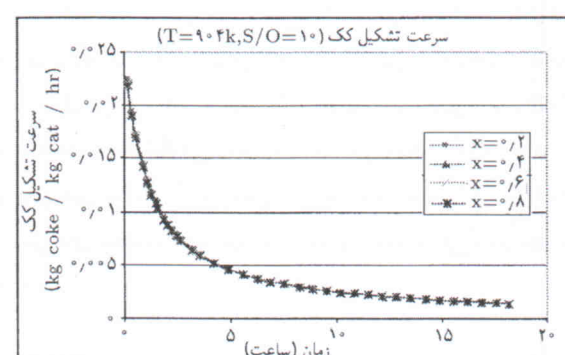
شکل ۱۶. مقدار کک تعادل دینامیکی بر حسب زمان در فشار مختلف بخار آب.



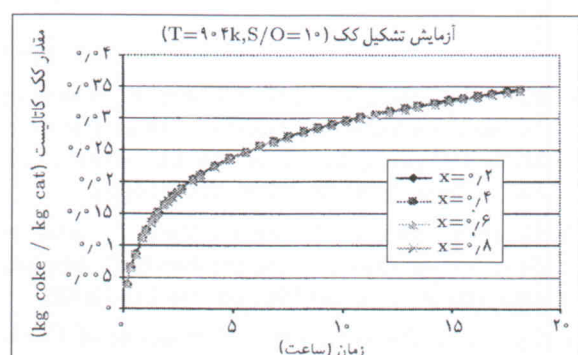
شکل ۱۰. سرعت تشکیل کک در دماهای مختلف.



شکل ۱۱. سرعت تشکیل کک در فشارهای مختلف آروماتیک.



شکل ۱۲. سرعت تشکیل کک در مقادیر مختلف میزان تبدیل اتیل بنزن بر حسب زمان.



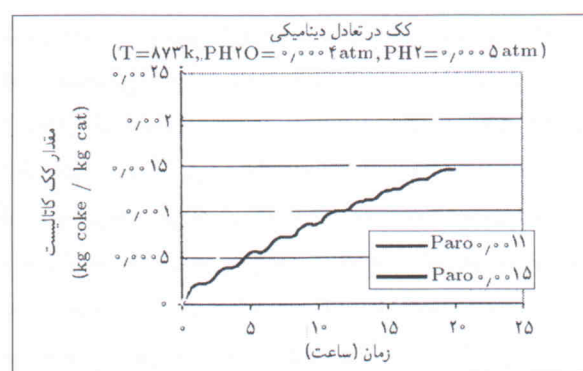
شکل ۱۳. مقدار کک کاتالیست در مقادیر مختلف میزان تبدیل اتیل بنزن بر حسب زمان.

براساس مطالب ذکر شده، مقدار کک متعادل دینامیکی به طور نامنظم با افزایش فشار بخار آب کاهش می‌یابد و با افزایش فشار آروماتیک‌ها و هیدروژن بطور نسبتاً نوسانی افزایش می‌یابد.

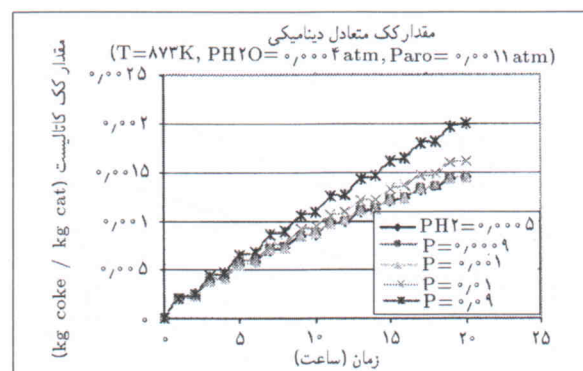
جمع‌بندی

چنان‌که ذکر شد، تشکیل کک روی کاتالیزور تک‌پار استایرن از جمله عوامل مهم در غیرفعال شدن کاتالیزور است. برای تعیین میزان کک تشکیل شده و پارامترهای سینتیکی، مشخص شدن زمان غیرفعال شدن، و تعیین میزان تأثیرگازی شدن بر تشکیل کک و زمان غیرفعال شدن و تأثیر روی میزان تبدیل، مدل‌سازی تشکیل کک و گازی شدن انجام شد.

در مدل‌سازی این پدیده، از سازوکار تک‌مرحله‌یی تشکیل کک در دانه‌ی کاتالیزور استفاده شد و برای هر کدام از توابع سرعت اولیه‌ی گازی‌شدن و غیرفعال شدن کاتالیزور، چهار تابع در نظر گرفته شد. با تلفیق مدل گازی‌شدن و مدل تشکیل کک، ۱۶ مدل به دست آمد که با تحلیل آماری و با استفاده از روش واریانس یک طرفه، مدل با بالاترین ضریب F₀ به عنوان مدل مرجع انتخاب شد. در مدل مرجع، تابع نمایی برای تابع غیرفعال شدن به دست آمد. پیداست که فرضیه‌ی حالت شبه پایدار برای کل سطوح واسطه برای واکنش گازی‌شدن دارای سازگاری است. براساس داده‌های تعادلی، پارامترهای سینتیکی برای مدل مرجع محاسبه شد. برای اطمینان از تطبیق مدل انتخابی با داده‌های آزمایشگاهی، مقایسه‌ی واکنش تشکیل کک در دو دما و مقایسه‌ی واکنش گازی شدن در یک دما انجام شد که براساس منحنی‌های به دست آمده، مدل با داده‌های آزمایشگاهی کاملاً مطابقت دارد.



شکل ۱۷. مقدار کک متعادل دینامیکی بر حسب زمان در فشار مختلف آروماتیک.



شکل ۱۸. مقدار کک متعادل دینامیکی بر حسب زمان در فشار مختلف هیدروژن.

در شکل ۱۷ مقدار کک متعادل دینامیکی بر حسب زمان در فشارهای مختلف آرماتیک‌ها، و نیز در شکل ۱۸، مقدار کک متعادل دینامیکی بر حسب زمان در فشارهای مختلف هیدروژن نشان داده شده است.

منابع

- Kris R., Devoldere and Gilbert F., Froment "Coke Formation and Gasification in The Catalytic Dehydrogenation of Ethyl benzene", Ind. Eng. Chem. Res. 38, 2626-2633 (1999).
- Garry R., Meimo, P., Govind Mnon, "Catalyst deactivation phenomenon production", Applied catalysis A: General 198, pp.103-114 (2000).
- Calvin H. Barholomew, "Mechanism of Catalyst Dectivation" Applied catalysis A: General 212, pp.17-60 (2001).
- Pio Forzatti, Luda Lieti, "Catalyst Deactiva-tion Catalysis Today 52, pp.165-181 (1999).
- Moulijn, J.A., Van Diepen, A.E., Kapteijn, F., "Catalyst Deactivation: is it predictable ? What to do?" Applied Catalyst A: General 212, pp.3-16 (2001).
- Heterogenous Catalysis In Practice, Charles N. Satterfield, McGraw-Hill Book Company, (1980).
- G.F. Froment, "Modeling of Catalyst Deactivation", Applied Catalyst A: General 212, pp.117-128 (2001).
- Chemical Reactor Analysis and Design, G.F.

- Froment and Kenneth B.Bischoff, John Wiley & Sons, pp. 284-300 (1997).
9. A.O.E. Beyne and G.f. froment, "A Percolation approach for the modeling of deactivation of zeolite catalysis by coke formation", *Chemical Engineering Science* **45**, (3), pp.2089 (1990).
10. A.O.E. Beyne and G.f. froment, "A Percolation approach for the modeling of deactivation of zeolite catalysis by coke formation :Diffusional limitations and finite rate of coke growth", *Chemical Engineering Science* **48**, (3), pp. 503-511 (1993).
11. G.f. froment, "A Quantitative approach of catalyst deactivation by coke formation", B.Delmone and G.f. froment (Editors), Catalyst Deactivation ,1980 Elsevier Scientific Publishing Company.
12. Antoon O.E. Beyne, Gilbert F. Froment, "The effect of pore blockage on the diffusivity in ZSM5: a percolation approach", *Chemical Engineering Journal* **82** pp. 281-290 (2001).
13. 13. F.Cavani,F.Trifiro, "Alternative Process for Production of styrene", Applied Catalysis A: General 133, pp. 219-239 (1995).

